

DAFTAR PUSTAKA

- Atimi, MT., R. L., & Sartika, S. (2022). Implementasi *Forward Chaining Method* Untuk Analisis Klasifikasi Mineralogi Batuan Beku. *Jurnal Edukasi dan Penelitian Informatika (JEPIN)*, 8(1), 80. <https://doi.org/10.26418/jp.v8i1.52374>.
- Balfas, M. D., Sasmito, K., Pangloro, J. S., & Wardana, S. H. (2019). Geologi dan Pemanfaatan Tambang Bahan Galian C Desa Bukit Raya, Kecamatan Tenggarong Seberang, Kabupaten Kutai Kertanegara, Provinsi Kalimantan Timur. *Jurnal Teknik Geologi: Ilmu Pengetahuan dan Teknologi*, 1(1), 11-18.
- Bunaciu, A. A., Udristoiu, E. G., & Aboul-Enein, H. Y. (2015). *X-Ray Diffraction: Instrumentation and Applications. Critical Reviews in Analytical Chemistry*, 45(4), 289-299. <https://doi.org/10.1080/10408347.2014.949616>.
- Chamley, H. (1989). *Clay Sedimentology*. Springer Berlin Heidelberg.
- Fitri, D. B., Hidayat, B., & Subandrio, a. S. (2017). Klasifikasi Jenis Batuan Sedimen Berdasarkan Tekstur dengan Metode *Gray Level CO-Occurrence Matrix* dan *K-NN*. *e-Proceeding of Engineering*, 4(2), 1638-1645.
- Fitriyanti, R., & Fatimura, M. (2019). Aplikasi Produksi Bersih pada Industri Semen. *Jurnal Redoks*, 3(1), 10-15. <https://doi.org/10.31851/redoks.v4i1.3070>.
- Gonggo, S. T., Edyanti, F., & Suherman. (2013). Karakterisasi Fisikokimia Mineral Lempung Sebagai Bahan Dasar Industri Keramik di Desa Lembah Bomban Kecamatan Bolano Lambunu Kabupaten Parigi Moutong. *Jurnal Akademika Kimia*, 2(2), 105-113.
- Grautama, G. A., Novianto, D., & Suhardono, A. (2021). Sumberdaya, Cadangan, Produksi Mineral dan Batuan Provinsi Jawa Timur Tahun 2018. *Jurnal Qua Teknika*, 11(1), 52-66. <https://doi.org/10.35457/quateknika.v11i1.1452>.
- Hakim, L., Dirgantara, M., & Nawir, M. (2019). Karakterisasi Struktur Material Pasir Bongkahan Galian Golongan C dengan Menggunakan *X-Ray Diffraction (X-RD)* di Kota Palangkaraya. *Jurnal Jejaring Matematika dan Sains*, 1(1), 44-51. <https://doi.org/10.36873/jjms.v1i1.136>.
- Haldar, S. K. (2020). *Introduction to Mineralogy and Petrology* (2nd ed.). Elsevier.
- Hasria, Asfar, S., Adriyansyah, Masri, Muliddin, Arisona, Firman, A., Okto, A., & Golok Jaya, L. M. (2021). Fasies Batuan Metamorf Daerah Wumbubangka, Kecamatan Rarowatu Utara, Kabupaten Bombana, Provinsi Sulawesi Tenggara. *Jurnal Geomine*, 9(1), 55-64. <https://doi.org/10.33536/jg.v9i1.896>.
- Moreno-Maroto, J. M., & Alonso-Azcárate, J. (2018). *What Is Clay? A New Definition Of "Clay" Based on Plasticity and Its Impact on The Most Widespread Soil Classification Systems. Applied Clay Science*, 161, 57-63. <https://doi.org/10.1016/j.clay.2018.04.011>.
- Mukherjee, S. (2013). *The Science of Clays: Applications in Industry, Engineering, and Environment*. Springer Science & Business Media.
- Munasir, Triwikantoro, Zainuri, M., & Darminto. (2012). Uji XRD dan XRF pada Bahan Mineral (Batuan dan Pasir) Sebagai Sumber Material Cerdas (CaCO₃ dan

SiO₂). *Jurnal Penelitian Fisika dan Aplikasinya (JPFA)*, 2(1), 20. <https://doi.org/10.26740/jpfa.v2n1.p20-29>.

Noor, D. (2014). *Pengantar Geologi*. (3rd ed.). Deepublish.

Said L, M., Hasofiana, Patunrengi, I. I., & Nasyori, A. (2018). Studi Analisis Karakterisasi Nilai Silika Modulus (SM) dan Alumina Modulus (AM) Tanah Liat Sebagai Bahan Baku Pembuatan Semen di Daerah Tabo-Tabo PT. Semen Tonasa. *Jurnal Presisi*, 3-8.

Saukani, M., & Febrianti, R. (2016). Analisa Komposisi Fasa Lempung Kalimantan Selatan Berdasarkan Data Difraksi Sinar X. *Jurnal Fisika FLUX*, 13(2), 117-120.

Sukanto & Supriatna. (1982). *Geologi Regional Lembar Pangkajene dan Watampone Bagian Barat, Sulawesi Selatan*. Pusat Penelitian dan Pengembangan Geologi Direktorat Pertambangan Umum Departemen Pertambangan dan Energi, Bandung, Indonesia.

Sukandarrumidi, Purnawati, D. I., Miftahussalam, Rakhman, A. N., & Maulana, F. W. (2021). *Belajar Petrologi Secara Mandiri*. UGM PRESS.

Sultoni, M. I., Hidayat, B., & Slamet Subandrio, A. (2019). Klasifikasi Jenis Batuan Beku Melalui Citra Berwarna dengan Menggunakan Metode *Local Binary Pattern* dan *K-Nearest Neighbor*. *TEKTRIKA-Jurnal Penelitian dan Pengembangan Telekomunikasi, Kendali, Komputer, Elektrik, dan Elektronika*, 4(1), 10. <https://doi.org/10.25124/tektrika.v4i1.1617>.

Tantowi, A. A., Hidayat, B., & Subandrio, A. S. (2018). Identifikasi Tekstur Untuk Klasifikasi Batuan Beku dengan Metode *Discrete Wavelet Transform* (DWT) dan *Support Vector Machine* (SVM). *TEKTRIKA-Jurnal Penelitian dan Pengembangan Telekomunikasi, Kendali, Komputer, Elektrik, dan Elektronika*, 3(2), 37. <https://doi.org/10.25124/tektrika.v3i2.2216>.

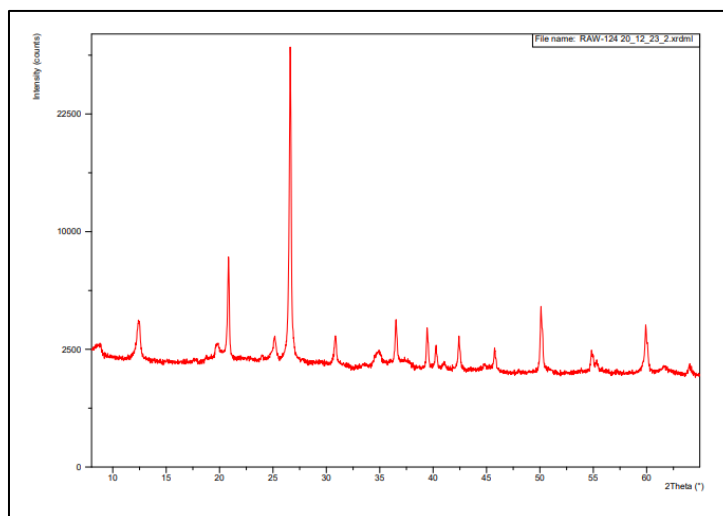
Utami, D. N. (2018). Kajian Jenis Mineralogi Lempung dan Implikasinya dengan Gerakan Tanah. *Jurnal Alami: Jurnal Teknologi Reduksi Risiko Bencana*, 2(2), 89. <https://doi.org/10.29122/alami.v2i2.3095>.

LAMPIRAN

Lampiran 1. Hasil Uji XRD

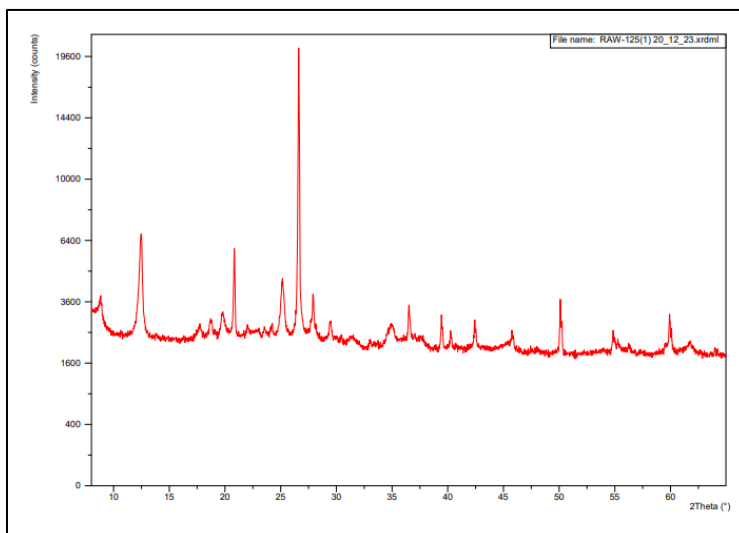
1. Sampel 124

```
@
124 20/12/23
Calcite - CaCO3;0.00
Dolomite - CaMg(CO3)2;2.83
Quartz - SiO2;93.23
Anorthite (Ca-feldspar);0.00
Albite (Na-feldspar);0.00
Orthoclase (K-feldspar);0.00
Illite (Mica) - KAl2(AlSi3O10)(OH)2;0.51
Kaolinite - Al2Si2O5(OH)4;2.91
Hematite - Fe2O3;0.00
Fluorite - CaF2;0.00
Aragonite;0.53
Pyrite;0.00
```



2. Sampel 125

```
@
125(1) 20/12/23
Calcite - CaCO3;0.25
Dolomite - CaMg(CO3)2;0.00
Quartz - SiO2;67.22
Anorthite (Ca-feldspar);2.49
Albite (Na-feldspar);17.85
Orthoclase (K-feldspar);0.00
Illite (Mica) - KAl2(AlSi3O10)(OH)2;2.08
Kaolinite - Al2Si2O5(OH)4;8.88
Hematite - Fe2O3;0.00
Fluorite - CaF2;0.00
Aragonite;0.23
Pyrite;1.00
```

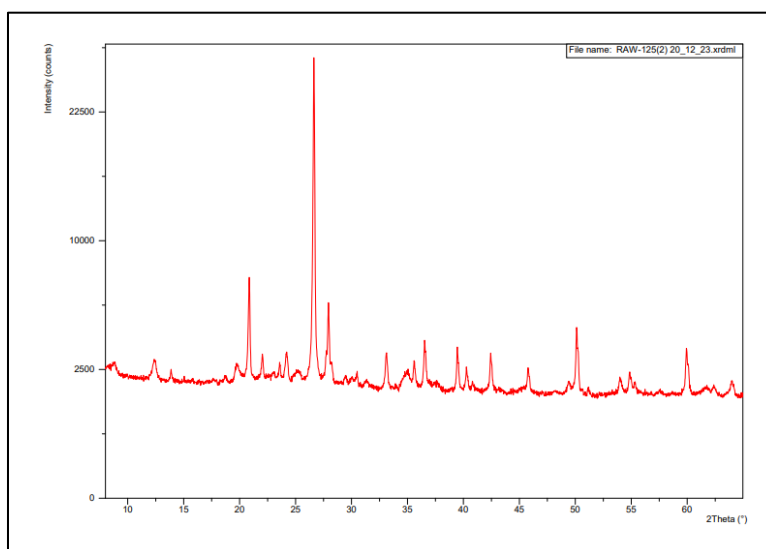


3. Sampel 126

```

@
126 20/12/23
Calcite - CaCO3;0.00
Dolomite - CaMg(CO3)2;0.00
Quartz - SiO2;66.04
Anorthite (Ca-feldspar);0.87
Albite (Na-feldspar);25.53
Orthoclase (K-feldspar);0.00
Illite (Mica) - KAl2(AlSi3O10)(OH)2;0.46
Kaolinite - Al2Si2O5(OH)4;0.96
Hematite - Fe2O3;4.41
Fluorite - CaF2;0.01
Aragonite;1.25
Pyrite;0.47

```

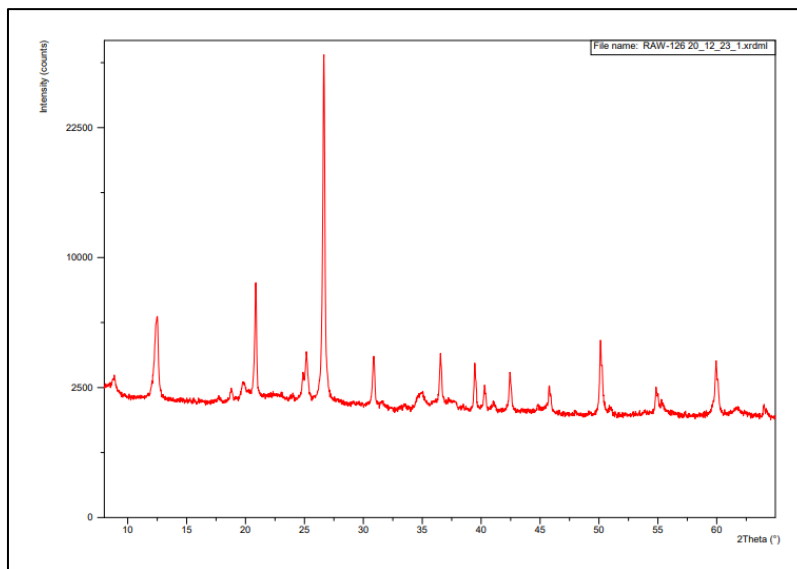


4. Sampel 127

```

@
127 20/12/23
Calcite - CaCO3;0.03
Dolomite - CaMg(CO3)2;3.84
Quartz - SiO2;89.12
Anorthite (Ca-feldspar);0.00
Albite (Na-feldspar);0.00
Orthoclase (K-feldspar);0.00
Illite (Mica) - KA12(AlSi3010)(OH)2;0.81
Kaolinite - Al2Si2O5(OH)4;5.59
Hematite - Fe2O3;0.00
Fluorite - CaF2;0.00
Aragonite;0.57
Pyrite;0.03

```

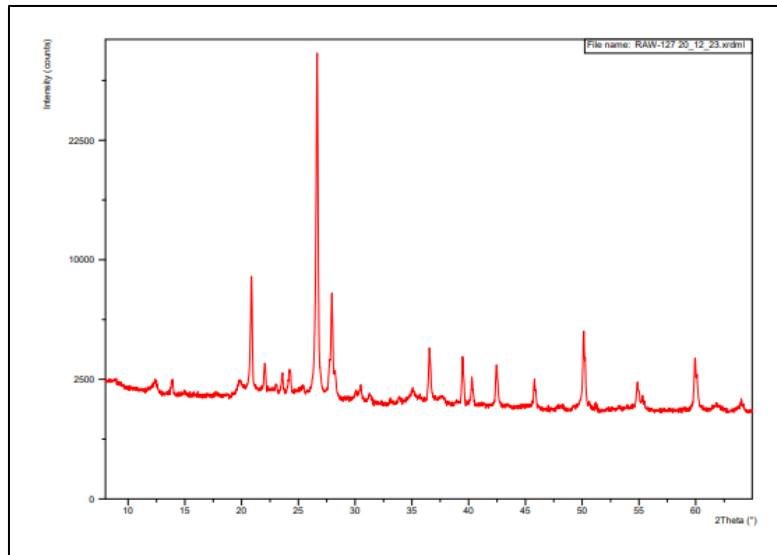


5. Sampel 128

```

@
128 20/12/23
Calcite - CaCO3;0.00
Dolomite - CaMg(CO3)2;0.00
Quartz - SiO2;66.70
Anorthite (Ca-feldspar);1.08
Albite (Na-feldspar);30.86
Orthoclase (K-feldspar);0.00
Illite (Mica) - KA12(AlSi3010)(OH)2;0.17
Kaolinite - Al2Si2O5(OH)4;0.49
Hematite - Fe2O3;0.06
Fluorite - CaF2;0.04
Aragonite;0.61
Pyrite;0.00

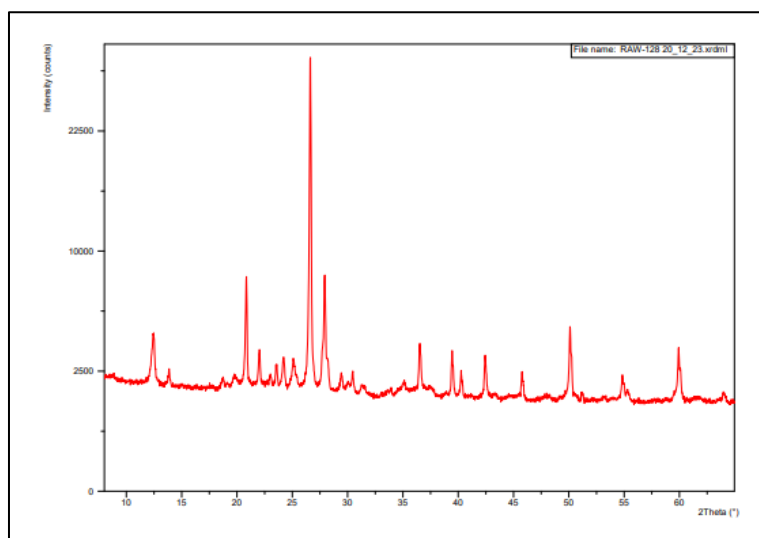
```



6. Sampel 129

```

@
129 20/12/23
Calcite - CaCO3;0.22
Dolomite - CaMg(CO3)2;0.00
Quartz - SiO2;59.28
Anorthite (Ca-feldspar);1.48
Albite (Na-feldspar);36.41
Orthoclase (K-feldspar);0.00
Illite (Mica) - KA12(AlSi3O10)(OH)2;0.16
Kaolinite - Al2Si2O5(OH)4;2.17
Hematite - Fe2O3;0.00
Fluorite - CaF2;0.00
Aragonite;0.29
Pyrite;0.00
  
```

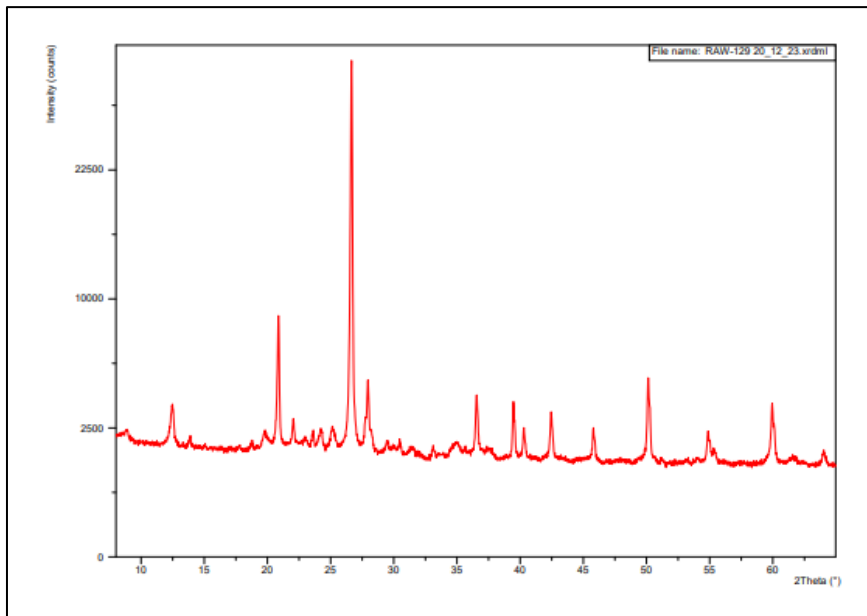


7. Sampel 130

```

@
130| 20/12/23
Calcite - CaCO3;0.02
Dolomite - CaMg(CO3)2;0.00
Quartz - SiO2;74.94
Anorthite (Ca-feldspar);0.77
Albite (Na-feldspar);21.61
Orthoclase (K-feldspar);0.00
Illite (Mica) - KA12(AlSi3010)(OH)2;0.33
Kaolinite - Al2Si2O5(OH)4;1.57
Hematite - Fe2O3;0.48
Fluorite - CaF2;0.00
Aragonite;0.29
Pyrite;0.00

```

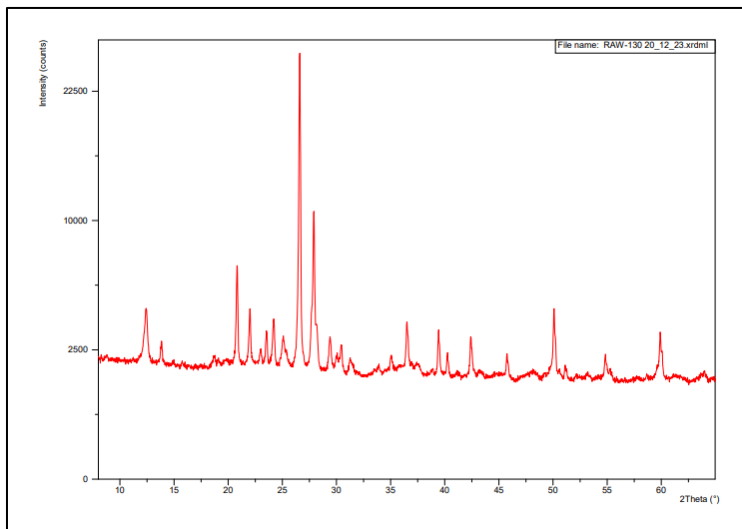


8. Sampel 131

```

@
131 20/12/23
Calcite - CaCO3;1.26
Dolomite - CaMg(CO3)2;0.00
Quartz - SiO2;45.32
Anorthite (Ca-feldspar);1.86
Albite (Na-feldspar);48.49
Orthoclase (K-feldspar);0.36
Illite (Mica) - KA12(AlSi3010)(OH)2;0.11
Kaolinite - Al2Si2O5(OH)4;2.13
Hematite - Fe2O3;0.00
Fluorite - CaF2;0.00
Aragonite;0.47
Pyrite;0.00

```

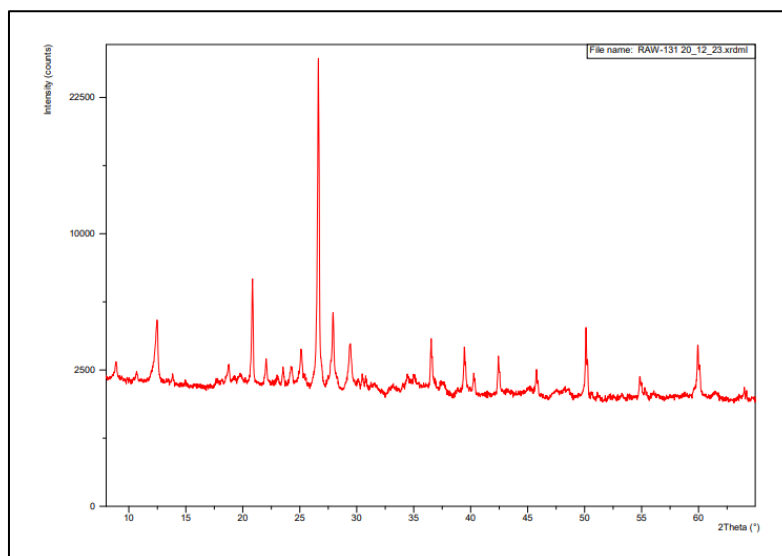


9. Sampel 132

```

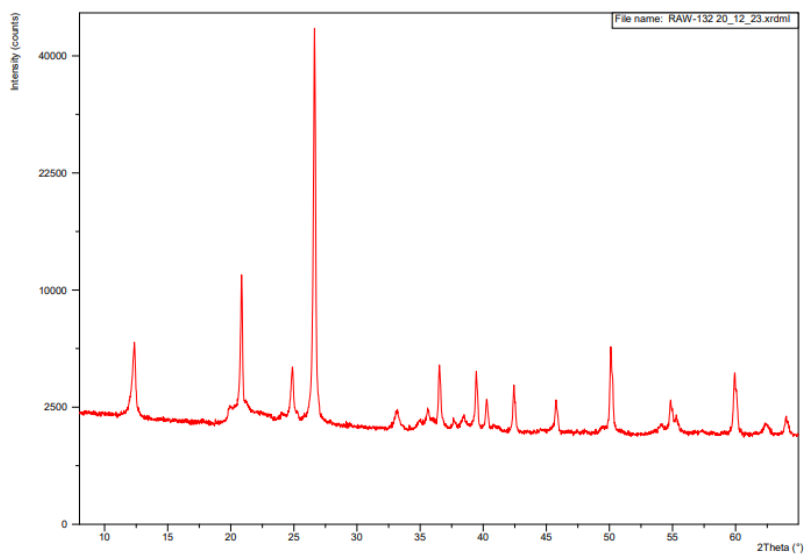
@
132| 20/12/23
Calcite - CaCO3;7.84
Dolomite - CaMg(CO3)2;0.51
Quartz - SiO2;60.61
Anorthite (Ca-feldspar);2.54
Albite (Na-feldspar);23.83
Orthoclase (K-feldspar);0.00
Illite (Mica) - KA12(Al5Si3O10)(OH)2;0.78
Kaolinite - Al2Si2O5(OH)4;3.15
Hematite - Fe2O3;0.00
Fluorite - CaF2;0.00
Aragonite;0.00
Pyrite;0.73

```



10. Sampel 133

```
@
133| 20/12/23
Calcite - CaCO3;0.00
Dolomite - CaMg(CO3)2;0.00
Quartz - SiO2;90.94
Anorthite (Ca-feldspar);0.00
Albite (Na-feldspar);0.00
Orthoclase (K-feldspar);0.00
Illite (Mica) - KAl2(AlSi3O10)(OH)2;0.00
Kaolinite - Al2Si2O5(OH)4;3.97
Hematite - Fe2O3;2.96
Fluorite - CaF2;0.03
Aragonite;2.03
Pyrite;0.07
```



Lampiran 2. Dokumentasi

